

# NLS-RAR $\alpha$ 对人白血病细胞NB4分化抑制及其机制的研究

肖春兰<sup>1,2</sup> 刘北忠<sup>1,2</sup> 徐婷<sup>1</sup> 单志灵<sup>2</sup> 滂柳根<sup>1</sup> 宋浩<sup>1</sup> 杨蓉<sup>2</sup> 李浏<sup>2</sup> 钟梁<sup>2\*</sup>

(<sup>1</sup>重庆医科大学附属永川医院中心实验室, 重庆 402160;

<sup>2</sup>重庆医科大学临床检验诊断学教育部重点实验室, 重庆 400016)

**摘要** 该文旨在探讨带核定位信号的维甲酸受体 $\alpha$ (nuclear localization signal retinoic acid receptor alpha, NLS-RAR $\alpha$ )对人急性早幼粒白血病(acute promyelocytic leukemia, APL)细胞株NB4分化的影响及其机制。免疫印迹实验检测全反式维甲酸(all-trans retinoic acid, ATRA)诱导的NB4细胞分化标志物C/EBP $\beta$ 、CD11b和p38 $\alpha$ 蛋白质水平; 利用慢病毒介导的NLS-RAR $\alpha$ 基因过表达, 进一步用免疫印迹实验验证过表达效率并检测NLS-RAR $\alpha$ 对NB4细胞分化标志物C/EBP $\beta$ 、CD11b和p38 $\alpha$ 蛋白质水平的影响; 间接免疫荧光实验分析NLS-RAR $\alpha$ 与p38 $\alpha$ 的空间共定位; 免疫共沉淀实验分析NLS-RAR $\alpha$ 与p38 $\alpha$ 的相互作用。结果显示, 生理浓度和药理浓度的ATRA促进NB4细胞分化的同时也激活了p38 $\alpha$ , 且p38 $\alpha$ 的活性变化与髓系分化标志物C/EBP $\beta$ 变化一致; 髓系分化表面标志物CD11b表达量在药理浓度ATRA( $1 \mu\text{mol/L}$ )处理下达到最高; NLS-RAR $\alpha$ 抑制NB4细胞的分化, 且只有在ATRA存在的条件下, NLS-RAR $\alpha$ 抑制NB4细胞的分化与下调p38 $\alpha$ 活性相关; NLS-RAR $\alpha$ 与p38 $\alpha$ 存在空间共定位且NLS-RAR $\alpha$ 与p38 $\alpha$ 直接相互作用。该研究结果提示, 当存在ATRA诱导时, NLS-RAR $\alpha$ 与p38 $\alpha$ 直接相互作用后下调p38 $\alpha$ 的活性进而抑制NB4细胞的分化。

**关键词** 人急性早幼粒白血病; NLS-RAR $\alpha$ ; NB4细胞; ATRA; p38 $\alpha$

## Study of NLS-RAR $\alpha$ on Differentiation Inhibition and Its Mechanism of Human Leukemia Cell Line NB4

Xiao Chunlan<sup>1,2</sup>, Liu Beizhong<sup>1,2</sup>, Xu Ting<sup>1</sup>, Shan Zhiling<sup>2</sup>, Gan Liugen<sup>1</sup>, Song Hao<sup>1</sup>, Yang Rong<sup>2</sup>, Li Liu<sup>2</sup>, Zhong Liang<sup>2\*</sup>

(<sup>1</sup>Central Laboratory of Yongchuan Hospital, Chongqing Medical University, Chongqing 402160, China;

<sup>2</sup>Key Laboratory of Laboratory Medical Diagnostics, Ministry of Education, Department of Laboratory Medicine, Chongqing Medical University, Chongqing 400016, China)

**Abstract** This paper is to investigate the effects of NLS-RAR $\alpha$  on differentiation of human promyelocytic leukemia cell line NB4 and its potential mechanisms. The expressions of myeloid differentiation markers, C/EBP $\beta$  and CD11b, p38 $\alpha$  induced by ATRA in NB4 cells were detected by Western blot. NLS-RAR $\alpha$  was overexpressed mediating by lentivirus and its efficiency of NLS-RAR $\alpha$  overexpress, the expressions of myeloid differentiation markers, C/EBP $\beta$  and CD11b, p38 $\alpha$  were detected by Western blot. The localization of NLS-RAR $\alpha$  and its interaction with p38 $\alpha$  was analysed by indirect immunofluorescence assay and co-immunoprecipitation assay, respectively. Our results

收稿日期: 2016-03-14 接受日期: 2016-05-20

国家自然科学基金(批准号: 81171658)和重庆市自然科学基金计划重点项目(批准号: 2011BA5037)资助的课题

\*通讯作者。Tel: 023-68485388, E-mail: liubeizhong@cqmu.edu.cn

Received: March 14, 2016 Accepted: May 20, 2016

This work was supported by the National Natural Science Foundation of China (Grant No.81171658) and the Natural Science Foundation of Major Project of Chongqing (Grant No.2011BA5037)

\*Corresponding author. Tel: +86-23-68485388, E-mail: liubeizhong@cqmu.edu.cn

网络出版时间: 2016-08-01 16:24:33 URL: <http://www.cnki.net/kcms/detail/31.2035.Q.20160801.1624.012.html>

demonstrated that the two ATRA concentrations (physiological [10 nmol/L] and pharmacological [1  $\mu$ mol/L] concentrations) that we investigated promoted differentiation and activated p38 $\alpha$  in NB4 cells. Further, ATRA-induced expression of the myeloid differentiation marker, C/EBP $\beta$ , was proportional to phosphorylated p38 $\alpha$  (p-p38 $\alpha$ ). We also observed a higher peak in the surface of myeloid differentiation marker, CD11b, following treatment with pharmacological concentrations of ATRA (1  $\mu$ mol/L). NLS-RAR $\alpha$  also inhibited NB4 cell differentiation, more importantly, this effect was related to downregulation of the active form of p38 $\alpha$  in the presence of ATRA. Finally, co-localization of NLS-RAR $\alpha$  and p38 $\alpha$  in three-dimensional space was confirmed, and we found that NLS-RAR $\alpha$  could interact with p38 $\alpha$  directly. Taken together, these data indicated that NLS-RAR $\alpha$  inhibited ATRA-induced differentiation of NB4 cells by downregulating the active form of p38 $\alpha$  via a direct interaction with p38 $\alpha$ .

**Keywords** human acute promyelocytic leukemia; NLS-RAR $\alpha$ ; NB4 cells; ATRA; p38 $\alpha$

急性早幼粒细胞白血病(acute promyelocytic leukemia, APL)是一种髓系造血干细胞克隆增殖性疾病,其特征是早幼粒细胞白血病维甲酸受体 $\alpha$ (promyelocytic leukemia-retinoic acid receptor alpha, PML-RAR $\alpha$ )融合蛋白的形成阻碍粒细胞的分化成熟<sup>[1-2]</sup>。PML-RAR $\alpha$ 融合基因是由位于15号染色体上的PML基因和位于17号染色体上的RAR $\alpha$ 基因易位形成<sup>[3]</sup>,而PML-RAR $\alpha$ 融合基因表达的PML-RAR $\alpha$ 融合蛋白可作为一种转录抑制因子调控粒系分化相关基因的表达<sup>[4]</sup>。中性粒细胞弹性蛋白酶(neutrophil elastase, NE)是由中性粒细胞合成的一种酶类<sup>[5]</sup>,其与许多疾病(如呼吸系统疾病)的发生相关,NE还参与免疫防御和炎症反应等<sup>[6]</sup>。研究者发现,早期APL细胞中表达的NE能切割PML-RAR $\alpha$ 产生缺失核定位信号的PML(PML<sup>NLS</sup>)和具核定位信号的维甲酸受体 $\alpha$ (nuclear localization signal retinoic acid receptor alpha, NLS-RAR $\alpha$ )两种突变蛋白质,且这一切割作用对APL的发生、发展具有重要作用<sup>[7-8]</sup>。本课题组成员早期研究证明,NLS-RAR $\alpha$ 能加速APL细胞增殖抑制其分化<sup>[9-10]</sup>。p38MAPK是MAPK家族中成员,参与细胞的炎症反应、增殖、凋亡、分化等过程<sup>[11]</sup>,p38 $\alpha$ 是p38MAPK的一种亚型。全反式维甲酸(all-trans retinoic acid, ATRA)是公认的APL治疗药物<sup>[12]</sup>,其主要作用是促进APL细胞分化、抑制APL细胞增殖。ATRA的促分化作用与p38 $\alpha$ 的活性相关<sup>[13]</sup>。在ATRA存在条件下,RAR $\alpha$ 可作为转录因子促进分化相关基因的表达,然而p38 $\alpha$ 与RAR $\alpha$ 直接相互作用抑制RAR $\alpha$ 的转录激活作用<sup>[14]</sup>。基于以上,我们推测,NLS-RAR $\alpha$ 对APL细胞的抑制分化作用可能与NLS-RAR $\alpha$ 和p38 $\alpha$ 的相互作用及p38 $\alpha$ 活性相关。

## 1 材料与方法

### 1.1 材料

1.1.1 细胞、质粒及菌株 人早幼粒细胞白血病(APL)细胞株NB4、慢病毒介导NLS-RAR $\alpha$ 过表达的人早幼粒细胞白血病细胞株LV-NLS-RAR $\alpha$ -NB4、仅感染慢病毒的人早幼粒细胞白血病细胞株LV-NC-NB4、293T细胞、真核生物表达质粒pCMY-HA-NLS-RAR $\alpha$ 、空载质粒pCMY-Myc和感受态大肠杆菌DH5 $\alpha$ 均由本实验室保存。

1.1.2 主要试剂 培养NB4、LV-NLS-RAR $\alpha$ -NB4、LV-NC-NB4细胞的RPMI 1640培养基和胎牛血清(FBS)购自美国Gibco公司;培养293T细胞的DMEM培养基购自美国Hyclone公司;培养293T细胞的胎牛血清(FBS)购自美国Gibco公司;T4 DNA连接酶、Trizol试剂和PCR试剂PrimeSTARTMHS(Premix)均购自TaKaRa公司;ATRA购自美国Sigma公司;限制性内切酶Xba I和Not I购自英国NEB公司;转染试剂LipoFiter<sup>TM</sup>购自HANBIO公司;胶回收试剂盒和质粒小抽试剂盒购自Promega公司;兔抗人RAR $\alpha$ 多克隆抗体、Protein A/G PLUS-Agarose均购自Santa Cruz公司;兔抗人磷酸化p38 $\alpha$ 多克隆抗体(p-p38 $\alpha$ )购自美国Millipore公司;兔抗人多克隆抗体p38 $\alpha$ 、HA-Tag以及小鼠抗人单克隆抗体Myc-Tag、HA-Tag均购自美国CST公司;兔抗人C/EBP $\beta$ 、CD11b多克隆抗体购自上海万类生物科技有限公司;小鼠抗人 $\beta$ -actin单克隆抗体、HRP、TRITC标记的山羊抗兔IgG、HRP、FITC标记的山羊抗小鼠IgG均购自北京中杉金桥生物技术有限公司。

### 1.2 方法

#### 1.2.1 细胞培养 NB4、LV-NLS-RAR $\alpha$ -NB4、LV-

NC-NB4细胞选用含10%胎牛血清的RPMI 1640培养基, 293T细胞选用含10%胎牛血清的DMEM培养基在含5% CO<sub>2</sub>、37 °C的细胞培养箱中培养, 每1~3 d传代换液。

**1.2.2 Western blot法检测细胞中的蛋白质水平** 提取细胞的总蛋白, BCA法测蛋白质浓度。取50 μg 蛋白质上样, 经8%的SDS-PAGE电泳、转膜、5%的脱脂奶粉封闭2 h, 一抗4 °C封闭过夜后, TBST洗膜2次, 每次10 min, 再用TBS洗膜10 min, 二抗室温孵育1 h后, 洗膜(方法同前), ECL化学发光成像分析。

**1.2.3 真核表达质粒pCMV-Myc-p38α表达质粒的构建** 根据GenBank中登录的p38α基因编码区序列, 采用Primer Premier 5.0软件设计特异性引物, 上游引物序列: 5'-TAA CTC GAG TAA TGT CTC AGG AGA GGC CCA CGT-3'; 下游引物序列: 5'-TAT TAA GCG GCG GCT CAG GAC TCC ATC TCT TCT TGG-3', 下划线部分分别是限制性酶Xho I和Not I的酶切位点。引物设计后送上海英潍捷基生物技术公司合成, 扩增片段大小为1 083 bp。以人急性白血病细胞株NB4的cDNA为PCR模板, 扩增产物为p38α的CDS区。PCR反应条件: 95 °C预变性5 min; 98 °C变性10 s, 68.8 °C退火30 s, 72 °C延伸80 s, 共29个循环; 最后72 °C再延伸5 min。反应系统: PrimeSTARTMHS(Premix)(5 μL)、cDNAs(50 ng)、p38α引物(约0.5 μmol/L, 0.3 μL)和ddH<sub>2</sub>O(3.7 μL)。扩增产物经1%的琼脂糖凝胶电泳分析, 在紫外灯照射下切取目的条带经胶纯化试剂纯化后, 双酶切(Xho I、Not I)目的片段和载体pCMV-Myc过夜, 纯化后再用T4连接酶于16 °C连接过夜。连接产物转化感受态大肠杆菌DH5α, 经含100 μg/mL 氨苄青霉素的固体LB平板培养, 筛选出单克隆细菌于液体LB培养基中继续培养12~14 h后提取质粒, 质粒经酶切和测序验证。

**1.2.4 瞬时转染** 转染前将293T细胞种植到合适的培养皿中, 待293T细胞汇合度达到60%~80%时进行

质粒转染。质粒转染程序按照LipoFiter™(HANBIO)转染试剂说明。转染48 h后, 收集293T细胞进行下一步实验, 如提取RNA或提取总蛋白。

**1.2.5 间接免疫荧光实验观察NLS-RARα和p38α的空间共定位** 收集慢病毒介导的NLS-RARα过表达的LV-NLS-RARα-NB4细胞悬液, 离心, PBS清洗3遍。取适量的细胞沉淀均匀涂于小盖玻片上, 待稍干后用4%的甲醛固定20 min, 再用PBS洗3遍。滴入0.1% Triton覆盖细胞15 min以增加细胞膜的通透性, 10%山羊封闭血清封闭30 min后滴入兔抗人p38α(1:100; CST, 9218, USA)多克隆抗体和小鼠抗人HA-tag(1:100; CST, 2367, USA)单克隆抗体4 °C孵育过夜。滴入二抗(1:200; 北京中杉金桥生物技术有限公司): TRITC标记的山羊抗兔IgG、FITC标记的山羊抗小鼠IgG, 37 °C孵育1 h后PBS清洗3遍。滴入10%的DAPI(碧云天生物技术研究所)盖膜5 min后再用PBS清洗1遍, 最后用70%的甘油封闭, 置于激光共聚焦荧光显微镜下观察。PBS清洗的时间为5 min/遍。

**1.2.6 免疫共沉淀实验验证NLS-RARα和p38α直接相互作用关系** 质粒转染前1 d种植293T细胞于直径为10 cm的培养皿, 待细胞汇合度达到70%时进行转染。实验分A、B、C三组, A组共转染真核表达质粒pCMV-Myc-p38α和空载pCMV-HA质粒, B、C两组都共转染真核表达质粒pCMV-Myc-p38α和pCMV-HA-NLS-RARα。转染48 h后收集细胞, PBS洗3遍后加入700 μL细胞裂解液和7 μL蛋白酶抑制剂PMSF(碧云天), 超声裂解30 s后置冰上10 min, 离心, 每个实验组取上清液分别放于3个1.5 mL的EP管中, 分别命名为input(60 μL)、小鼠/兔抗人IgG(300 μL)和小鼠/兔抗人RARα/Myc-Tag(360 μL)。Input蛋白管中加入5×的SDS-PAGE上样缓冲液, 然后煮沸5 min保存备用。其他蛋白管中加入相应的IgG、anti-RARα/anti-Myc-Tag(2 μg)后4 °C摇晃过夜, 再加入Protein A/G PLUS-Agarose继续摇晃5 h, 离心, 去上清液, 用500 μL

表1 免疫共沉淀实验分组

Table 1 Groups of co-immunoprecipitation assay

组别 Group	共转染的质粒 Plasmids of cotransfection	IgG种类 Species of IgG	IP抗体 IP antibody	IB抗体 IB antibody
A	pCMV-Myc-p38α, pCMV-HA	Rabbit	anti-RARα	anti-Myc-Tag
B	pCMV-Myc-p38α, pCMV-HA-NLS-RARα	Rabbit	anti-RARα	anti-Myc-Tag
C	pCMV-Myc-p38α, pCMV-HA-NLS-RARα	Mouse	anti-Myc-Tag	anti-HA-Tag

IP: 免疫沉淀; IB: 免疫印迹。

IP: immunoprecipitation; IB: immunoblotting.

的细胞裂解液清洗珠子3遍, 弃上清, 加入25  $\mu$ L SDS-PAGE(2 $\times$ )上样缓冲液后煮沸5 min后保存备用。

**1.2.7 统计学分析** 所有实验独立重复3次, 计量资料以均数±标准差表示, 采用SPSS 17.0进行显著性差异分析。 $P<0.05$ 表示有显著性差异,  $P<0.01$ 表示有极显著性差异。

## 2 结果

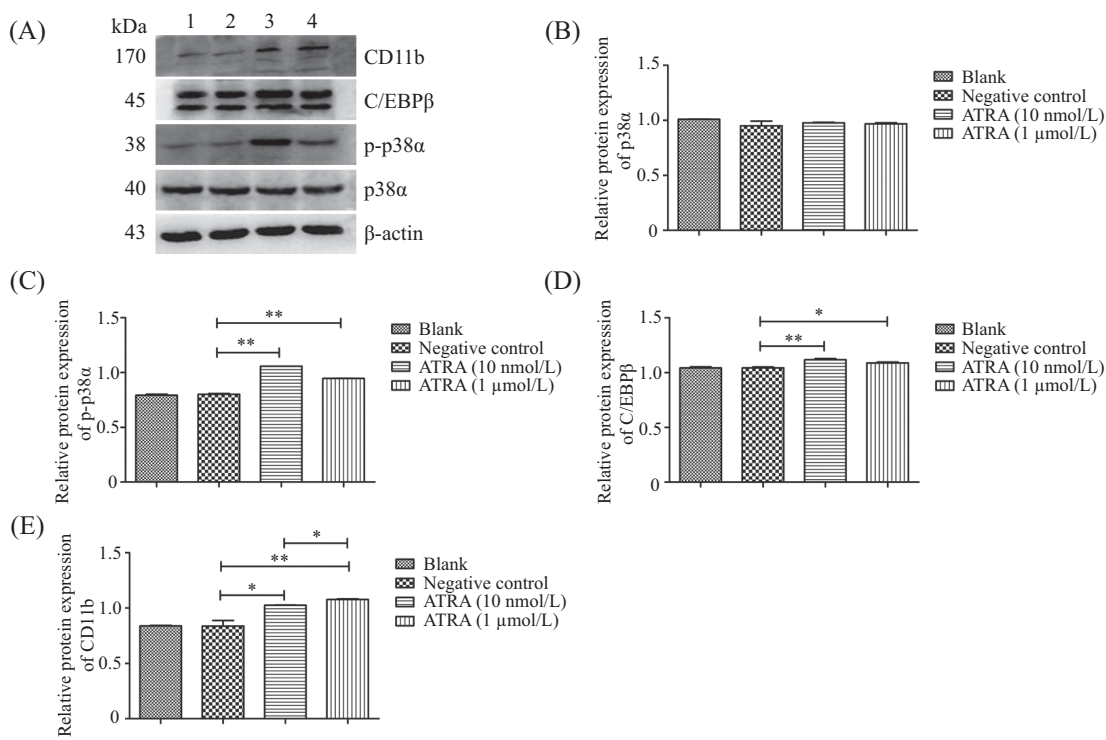
### 2.1 ATRA诱导的NB4细胞分化促进p38 $\alpha$ 磷酸化

全反式维甲酸(ATRA)是公认的促APL细胞分化的药物。因此, 我们用生理浓度的ATRA(10 nmol/L)和药理浓度的ATRA(1  $\mu$ mol/L)分别处理人APL细胞株NB4, 同时设置空白对照组(不予任何处理)和阴性对照组(仅予溶剂DMSO处理)。3 d后提取细胞总蛋白, Western blot检测总p38 $\alpha$ 和磷酸化p38 $\alpha$ (p-p38 $\alpha$ )水平以及髓系分化标志蛋白C/EBP $\beta$ <sup>[15-16]</sup>、髓系表面分化标志物CD11b<sup>[14,17-18]</sup>的表达水平(图1A)。由图1可看出, 与阴性对照组(只用DMSO处理)相比,

两种浓度的ATRA都使NB4细胞的磷酸化p38 $\alpha$ 蛋白、C/EBP $\beta$ 和CD11b蛋白表达增加, 差异均有统计学意义。磷酸化p38 $\alpha$ 和C/EBP $\beta$ 蛋白水平在生理浓度的ATRA(10 nmol/L)下表达最多, CD11b蛋白质水平在药理浓度的ATRA(1  $\mu$ mol/L)下表达最多; 总p38 $\alpha$ 蛋白质水平组间差异无统计学意义。

### 2.2 NLS-RAR $\alpha$ 抑制NB4细胞的分化

本课题组前期已经证实, NLS-RAR $\alpha$ 能促进急性早幼粒白血病细胞株HL60、NB4增殖, 抑制HL60分化<sup>[9-10]</sup>。为了进一步探索NLS-RAR $\alpha$ 对NB4细胞分化的影响, 我们利用慢病毒介导NLS-RAR $\alpha$ 在NB4细胞(命名为LV-NLS-RAR $\alpha$ -NB4)中过表达(图2A), Western blot检测细胞分化标志物C/EBP $\beta$ 和CD11b在各分组中的表达水平(图2B)。根据图1的结果, 两种不同浓度的ATRA处理NB4细胞时, CD11b在药理浓度ATRA(1  $\mu$ mol/L)下表达量最多。考虑到CD11b是最常用的细胞分化表面标志物, 因此, 我们进一步用ATRA(1  $\mu$ mol/L)处理LV-NLS-RAR $\alpha$ -NB4细胞及



A: 不同因素处理NB4细胞72 h后, Western blot分析蛋白表达水平, 1: 空白对照组; 2: 阴性对照组[二甲亚砜(DMSO)处理]; 3: ATRA(10 nmol/L)处理组; 4: ATRA(1  $\mu$ mol/L)处理组; B-E: A图的统计学分析, \* $P<0.05$ , \*\* $P<0.01$ 。

A: Western blot analysis of the expressions of protein in NB4 cells treated with different factors for 72 h; 1: blank group; 2: negative control group (dimethylsulfoxide [DMSO]-treated); 3: the ATRA (10 nmol/L) treatment group; 4: ATRA (1  $\mu$ mol/L) treatment group; B-E: the statistical analysis of picture A; \* $P<0.05$ , \*\* $P<0.01$ .

图1 NB4细胞分化和p38 $\alpha$ 活性的相关分析

Fig.1 The correlation analysis between differentiation and activation of p38 $\alpha$  of NB4 cells

其对照组细胞。Western blot检测细胞分化标志物C/EBP $\beta$ 和CD11b在各分组中的表达水平(图2C)。由图2的结果可以看出,无论是否用ATRA处理NB4细胞,与对照组比较, NLS-RAR $\alpha$ 抑制NB4细胞分化标志物(C/EBP $\beta$ 、CD11b)的表达,说明NLS-RAR $\alpha$ 对NB4细胞的分化有抑制作用。

### 2.3 NLS-RAR $\alpha$ 下调ATRA诱导的NB4细胞的p38 $\alpha$ 蛋白质磷酸化

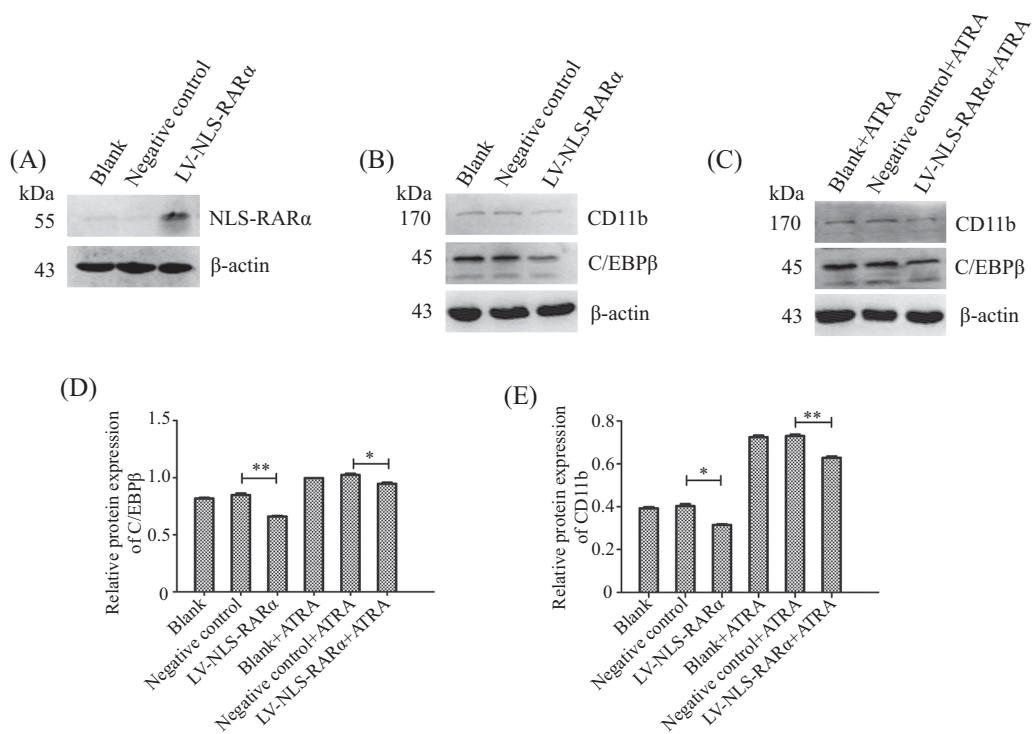
前期我们已证明,ATRA促进NB4细胞的分化与p38 $\alpha$ 的活性相关,且NLS-RAR $\alpha$ 能抑制NB4细胞的分化,那么NLS-RAR $\alpha$ 引起的NB4细胞分化受抑是否与p38 $\alpha$ 的活性改变相关?因此,我们对结果2.2部分各组中总的p38 $\alpha$ 蛋白质和磷酸化p38 $\alpha$ 蛋白质(p-p38 $\alpha$ )水平进行Western blot检测。结果显示,无论有无用ATRA(1  $\mu$ mol/L)处理细胞,各分组中p38 $\alpha$ 蛋白水平差异无统计学意义;只有当ATRA(1  $\mu$ mol/L)处理细胞情况下,与对照组相比,LV-NLS-RAR $\alpha$ -NB4细胞组的p-p38 $\alpha$ 蛋白表达水平下降且差异显著(图3)。

### 2.4 NLS-RAR $\alpha$ 蛋白质和p38 $\alpha$ 蛋白质在NB4细胞中空间共定位

培养慢病毒介导的NLS-RAR $\alpha$ 在NB4细胞中过表达的LV-NLS-RAR $\alpha$ -NB4细胞,采用间接免疫荧光实验观察NLS-RAR $\alpha$ (anti-HA-Tag/FITC)和p38 $\alpha$ (anti-p38 $\alpha$ /TRITC)的空间定位(图4)。由图观察出,FITC标记的NLS-RAR $\alpha$ (绿色)和TRITC标记的p38 $\alpha$ (红色)大部分在细胞核内表达(DAPI核染蓝色),融合之后出现较强的黄色荧光。这说明,在NB4细胞中NLS-RAR $\alpha$ 和p38 $\alpha$ 空间位置很接近,存在共定位现象。

### 2.5 NLS-RAR $\alpha$ 蛋白质与p38 $\alpha$ 蛋白质直接相互作用

既然NLS-RAR $\alpha$ 能抑制NB4细胞的分化,且在ATRA存在时,这种抑制作用与下调p-p38 $\alpha$ 水平有关,并且在NB4细胞中NLS-RAR $\alpha$ 和p38 $\alpha$ 存在共定位,因此,我们进一步采用免疫共沉淀实验探索NLS-RAR $\alpha$ 和p38 $\alpha$ 是否存在直接相互作用关系。由图5看出,以与免疫共沉淀所用抗体属性相同的IgG作为阴性对照,仅转染Myc标签的pCMV-p38 $\alpha$ 质粒

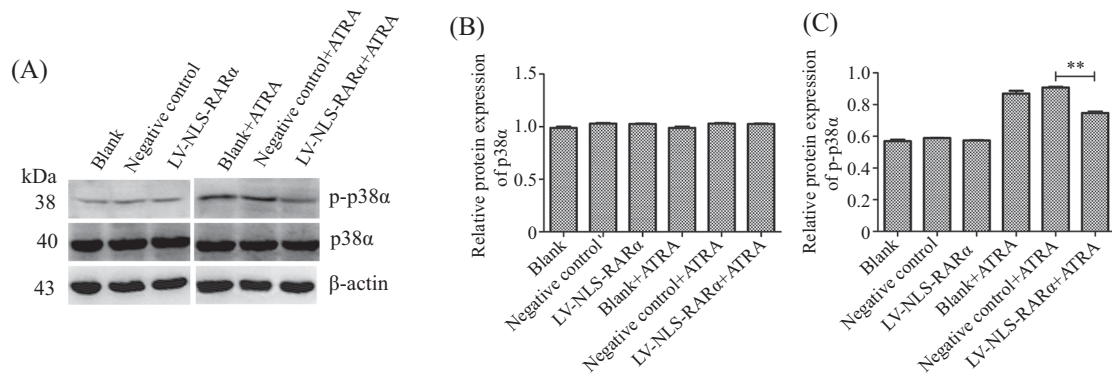


A: 不同组NLS-RAR $\alpha$ 蛋白的表达; B: 不同组CD11b、C/EBP $\beta$ 蛋白的表达; C: 不同组经ATRA(1  $\mu$ mol/L)处理后CD11b、C/EBP $\beta$ 蛋白的表达; Blank组: NB4细胞不做任何处理; Negative control组: NB4细胞只感染空病毒; LV-NLS-RAR $\alpha$ 组: NB4细胞感染LV-NLS-RAR $\alpha$ 。D、E: 不同组中CD11b、C/EBP $\beta$ 蛋白的表达统计图, \* $P<0.05$ , \*\* $P<0.01$ 。

A: the expressions of NLS-RAR $\alpha$  in different groups; B: the expressions of CD11b, C/EBP $\beta$  in different groups; C: the expressions of CD11b, C/EBP $\beta$  in different groups after treating with ATRA(1  $\mu$ mol/L). Blank group: non-manipulated NB4 cells; Negative control group: NB4 cells infected with lentivirus only; LV-NLS-RAR $\alpha$  group: NB4 cells infected with NLS-RAR $\alpha$ -lentivirus; D,E: the statistical analysis of CD11b, C/EBP $\beta$  in different groups; \* $P<0.05$ , \*\* $P<0.01$ .

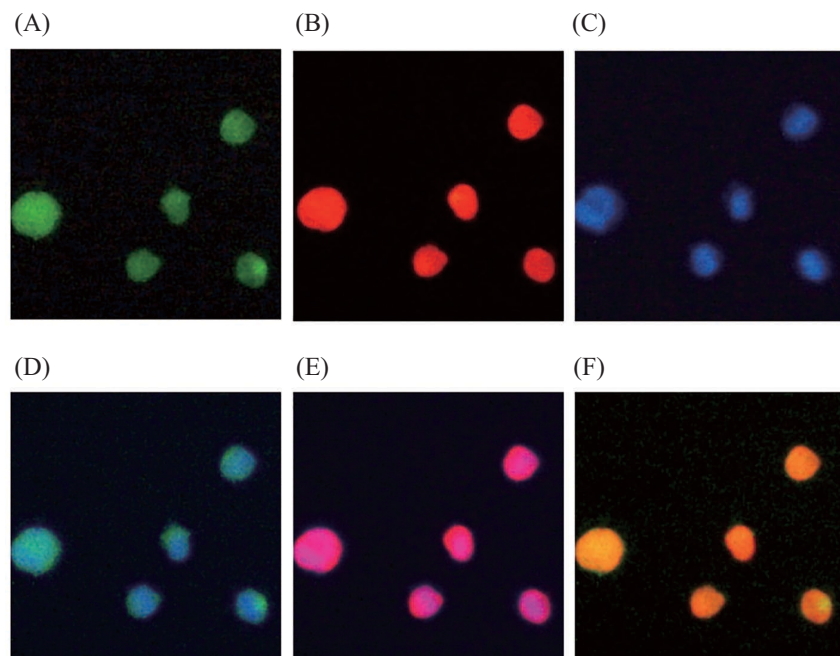
图2 NLS-RAR $\alpha$ 对NB4细胞分化的影响

Fig.2 Effects of NLS-RAR $\alpha$  on differentiation of NB4 cells

A: 不同组p38 $\alpha$ 、p-p38 $\alpha$ 蛋白质水平; B: p38 $\alpha$ 蛋白质水平的统计图; C: p-p38 $\alpha$ 蛋白质水平的统计图, \*\*P<0.01。

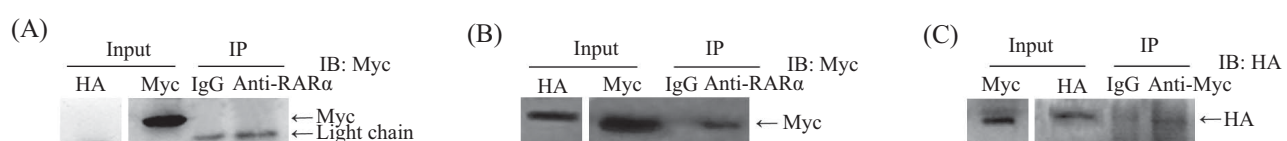
A: the protein levels of p38 $\alpha$ , p-p38 $\alpha$  in different groups; B: the statistical analysis of p38 $\alpha$  in different groups; C: the statistical analysis of p-p38 $\alpha$  in different groups; \*\*P<0.01.

**图3 NLS-RAR $\alpha$ 对NB4细胞中p38 $\alpha$ 蛋白质水平的影响**  
**Fig.3 Effects of NLS-RAR $\alpha$  on p38 $\alpha$  protein level of NB4 cells**



A: NLS-RAR $\alpha$ 在NB4细胞中的空间定位; B: p38 $\alpha$ 在NB4细胞中的空间定位; C: NB4细胞核染色; D: A、C融合图; E: B、C融合图; F: A、B融合图。  
A: the localization of NLS-RAR $\alpha$  in NB4 cells; B: the localization of p38 $\alpha$  in NB4 cells; C: nuclear staining of NB4 cells; D: merged by A and C; E: merged by B and C; F: merged by A and B.

**图4 NLS-RAR $\alpha$ 蛋白质和p38 $\alpha$ 蛋白质在NB4细胞中的空间定位观察(100 $\times$ )**  
**Fig.4 Observation of the localization of NLS-RAR $\alpha$  and p38 $\alpha$  in NB4 cells (100 $\times$ )**



A、B: RAR $\alpha$ 抗体免疫沉淀NLS-RAR $\alpha$ , Western blot检测p38 $\alpha$ (带Myc标签); C: Myc标签抗体免疫沉淀p38 $\alpha$ , Western blot检测NLS-RAR $\alpha$ (带HA标签)。Western blot分析质粒共转染情况(input)。

A,B: NLS-RAR $\alpha$  was immunoprecipitated by anti-RAR $\alpha$  and p38 $\alpha$  (an Myc-tagged version) was detected by Western blot; C: p38 $\alpha$  was immunoprecipitated by anti-Myc-Tag and NLS-RAR $\alpha$  (an HA-tagged version) was detected by Western blot. The cotransfection of plasmids (input) was determineded with Western blot analysis.

**图5 NLS-RAR $\alpha$ 蛋白质和p38 $\alpha$ 蛋白质的相互作用分析**  
**Fig.5 Interaction analysis of NLS-RAR $\alpha$  and p38 $\alpha$**

时, RAR $\alpha$ 抗体不能共沉淀p38 $\alpha$ (带Myc标签, 图5A), 只有共转染HA标签的pCMV-NLS-RAR $\alpha$ 质粒和Myc标签的pCMV-p38 $\alpha$ 质粒时, RAR $\alpha$ 抗体才能共沉淀p38 $\alpha$ (带Myc标签, 图5B), 说明p38 $\alpha$ 是被转染表达的NLS-RAR $\alpha$ 而不是被细胞内原本表达的RAR $\alpha$ 沉淀下来的(因RAR $\alpha$ 抗体既能与RAR $\alpha$ 也能与NLS-RAR $\alpha$ 结合), 且共转染以上两种真核表达质粒时, Myc抗体能将NLS-RAR $\alpha$ 共沉淀下来(图5C), 说明NLS-RAR $\alpha$ 也能被p38 $\alpha$ 沉淀下来。以上结果说明, NLS-RAR $\alpha$ 和p38 $\alpha$ 确实存在直接相互作用关系。

### 3 讨论

ATRA能促进APL细胞分化抑制其增殖, 且这些效应与p38 $\alpha$ 活性存在相关性<sup>[13-14]</sup>, 但研究者并没有同时用不同浓度的ATRA处理细胞进而比较这些效应与p38 $\alpha$ 活性的关系。为了进一步验证ATRA引起的细胞分化程度与p38 $\alpha$ 活性水平相关性, 我们同时用生理浓度和药理浓度的ATRA(10 nmol/L、1  $\mu$ mol/L)处理APL细胞株NB4, 免疫印迹技术检测各处理组细胞的分化标志物CD11b和C/EBP $\beta$ 以及MAPK家族成员p38 $\alpha$ 及其活性形式p-p38 $\alpha$ 水平。结果进一步表明, ATRA促进NB4细胞分化与p38 $\alpha$ 的活性有关; 且结果发现, 与对照组比较, 两种不同浓度的ATRA促进NB4细胞分化的同时升高了p-p38 $\alpha$ 水平, 但p38 $\alpha$ 水平变化不明显; p-p38 $\alpha$ 变化趋势与C/EBP $\beta$ 一致, 峰值都出现在生理浓度ATRA(10 nmol/L)处理时; CD11b的表达峰值出现在药理浓度ATRA(1  $\mu$ mol/L)处理时。因最常用的髓系分化表面标志物——CD11b和p-p38 $\alpha$ 峰值出现时ATRA浓度的不一致性, 所以我们认为, 虽然总体上ATRA促进NB4细胞分化的同时促进p38 $\alpha$ 磷酸化, 但分化程度与p38 $\alpha$ 磷酸化程度并不是简单的正比例关系, 只有在一定ATRA浓度范围内, ATRA引起的NB4细胞分化程度可能与p38 $\alpha$ 的活化程度存在正比例关系, 这种假设也在某种程度上吻合了Gianni等<sup>[14]</sup>的研究结果, 同时用ATRA(10 nmol/L)和p38 $\alpha$ 抑制剂处理的NB4细胞分化程度高于仅用ATRA(10 nmol/L)处理的NB4细胞的分化程度。

MAPK家族和AKT信号途径在KG1a细胞的克隆形成、血管形成、肌细胞的分化都同时发挥重要作用<sup>[19-22]</sup>, NLS-RAR $\alpha$ 能加速APL细胞株HL60增殖、抑制其分化, 其作用机制与AKT通路的激活相关<sup>[9-10]</sup>。因此我们推测, NLS-RAR $\alpha$ 抑制APL细胞分

化的机制也可能与MAPK家族相关。我们利用慢病毒介导NLS-RAR $\alpha$ 在APL细胞株NB4中成功过表达, 免疫印迹实验分析MAPK家族蛋白p38 $\alpha$ 、p-p38 $\alpha$ 及髓系细胞分化标志物的表达。实验结果表明, NLS-RAR $\alpha$ 能抑制ATRA诱导的NB4细胞分化, 且其机制与p38 $\alpha$ 活性形式p-p38 $\alpha$ 水平下调有关; 当无ATRA诱导时, NLS-RAR $\alpha$ 也能抑制NB4细胞分化, 但因p38 $\alpha$ 、p-p38 $\alpha$ 水平都没有明显改变, 所以, 我们认为其机制与p38 $\alpha$ 活性改变无直接联系。

既然NLS-RAR $\alpha$ 抑制ATRA诱导的NB4细胞分化与p38 $\alpha$ 相关, 那么NLS-RAR $\alpha$ 和p38 $\alpha$ 两者之间是以何种方式作用的, 是我们进一步需要探讨的。经过查阅文献, 我们发现, 在COS7细胞中RAR $\alpha$ 能与p38 $\alpha$ 直接相互作用而影响RAR $\alpha$ 的转录激活效应, 且直接相互作用不依赖ATRA<sup>[14]</sup>, 说明在APL细胞中RAR $\alpha$ 可能与p38 $\alpha$ 直接相互作用影响APL细胞生物学功能, 如分化与增殖。基于文献, 我们认为, 在RAR $\alpha$ 上增加了核定位信号的NLS-RAR $\alpha$ 也可能与p38 $\alpha$ 直接相互作用而影响p38 $\alpha$ 的活性, 进而影响APL细胞的生物学功能, 间接免疫荧光实验和外源性免疫共沉淀实验证实了这一设想。中性粒细胞弹性蛋白酶切割PML-RAR $\alpha$ 产生PML<sup>NLS</sup>-和NLS-RAR $\alpha$ , 这种作用发生在早期APL模型小鼠白血病细胞中<sup>[7]</sup>, 因此我们大胆推测, 对ATRA敏感的早期APL的发生发展可能是由于NLS-RAR $\alpha$ 和p38 $\alpha$ 直接相互作用后下调p38 $\alpha$ 活性而导致的; 而对ATRA耐药的早期APL, 虽然NLS-RAR $\alpha$ 也能与p38 $\alpha$ 直接作用, 但不会影响p38 $\alpha$ 的活性, 其发生发展可能由其他途径导致的, 如AKT通路, 这也是我们需要进一步探讨的难点和重点。

综上所述, NLS-RAR $\alpha$ 能抑制NB4细胞的分化, 其机制可能是: 当无ATRA诱导时, NLS-RAR $\alpha$ 通过MAPK通路之外的途径抑制NB4细胞的分化, 如激活AKT通路<sup>[10]</sup>; 当存在ATRA诱导时, NLS-RAR $\alpha$ 与p38 $\alpha$ 直接相互作用后下调p38 $\alpha$ 的活性进而抑制NB4细胞的分化, 这对早期APL的发生发展机制的探索提供了重要线索, 也为APL诊疗靶点的筛选奠定了基础。

### 参考文献 (References)

- Yoo SJ, Seo EJ, Lee JH, Seo YH, Park PW, Ahn JY. A complex, four-way variant t(15;17) in acute promyelocytic leukemia. *Cancer Genet Cytogenet* 2006; 167(2): 168-71.

- 2 Kamimura T, Miyamoto T, Harada M, Akashi K. Advances in therapies for acute promyelocytic leukemia. *Cancer Sci* 2011; 102(11): 1929-37.
- 3 Kakizuka A, Miller WH Jr, Umesono K, Warrell RP Jr, Frankel SR, Murty VV, et al. Chromosomal translocation t(15;17) in human acute promyelocytic leukemia fuses RAR alpha with a novel putative transcription factor, PML. *Cell* 1991; 66(4): 663-74.
- 4 Nitto T, Sawaki K. Molecular mechanisms of the antileukemia activities of retinoid and arsenic. *J Pharmacol Sci* 2014; 126(3): 179-85.
- 5 El-Ouriaghli F, Sloand E, Mainwaring L, Fujiwara H, Keyvanfar K, Melenhorst JJ, et al. Clonal dominance of chronic myelogenous leukemia is associated with diminished sensitivity to the antiproliferative effects of neutrophil elastase. *Blood* 2003; 102(10): 3786-92.
- 6 马国尔, 郑金旭. 中性粒细胞弹性蛋白酶研究现状. 江苏大学学报(医学版)(Ma Guoer, Zhen Jinxu. The current study of neutrophil elastase. *Journal of Jiangsu University, Medicine Edition*) 2006; 16(3): 262-5.
- 7 Lane AA, Ley TJ. Neutrophil elastase cleaves PML-RAR $\alpha$  and is important for the development of acute promyelocytic leukemia in mice. *Cell* 2003; 115(3): 305-18.
- 8 Lane AA, Ley TJ. Neutrophil elastase is important for PML-retinoic acid receptor alpha activities in early myeloid cells. *Mol Cell Biol* 2005; 25(1): 23-33.
- 9 Hu XX, Zhong L, Zhang X, Gao YM, Liu BZ. NLS-RAR $\alpha$  promotes proliferation and inhibits differentiation in HL-60 cells. *Int J Med Sci* 2014; 11(3): 247-54.
- 10 宋浩, 李浏, 钟梁, 蒋开玲, 阳小群, 杨蓉, 等. NLS-RAR $\alpha$ 通过激活AKT调节白血病细胞NB4的增殖. 基础医学与临床(Song Hao, Li Liu, Zhong Liang, Jiang Kailing, Yang Xiaoqun, Yang Rong, et al. NLS-RAR $\alpha$  regulates the proliferation of leukemia cell NB4 by activating AKT pathway. *Basic & Clinical Medicine*) 2016; 36(1): 41-6.
- 11 张奇, 白晓东, 付小兵. P38MAPK信号通路研究进展. 感染、炎症、修复(Zhang Qi, Bai Xiaodong, Fu Xiaobing. The newest studies on P38MAPK signaling pathway. *Infection, Inflammation, Repair*) 2005; 6(2): 121-3.
- 12 Watts JM and Tallman MS. Acute promyelocytic leukemia: What is the new standard of care? *Blood Rev* 2014; 28(5): 205-12.
- 13 Qian X, He J, Zhao Y, Lin M. Inhibition of p38 MAPK phosphorylation is critical for bestatin to enhance ATRA-induced cell differentiation in acute promyelocytic leukemia NB4 Cells. *Am J Ther* 2016; 23(3): 680-9.
- 14 Gianni M, Peviani M, Bruck N, Rambaldi A, Borleri G, Terao M, et al. p38alphaMAPK interacts with and inhibits RAR $\alpha$ : Suppression of the kinase enhances the therapeutic activity of retinoids in acute myeloid leukemia cells. *Leukemia* 2012; 26(8): 1850-61.
- 15 Duprez E, Wagner K, Koch H and Tenen DG. C/EBP $\beta$ : A major PML-RARA-responsive gene in retinoic acid-induced differentiation of APL cells. *EMBO J* 2003; 22(21): 5806-16.
- 16 Yamanaka R, Lekstrom-Himes J, Barlow C, Wynshaw-Boris A, Xanthopoulos KG. CCAAT/enhancer binding proteins are critical components of the transcriptional regulation of hematopoiesis (Review). *Int J Mol Med* 1998; 1(1): 213-21.
- 17 Zeng C, Xu Y, Xu L, Yu X, Cheng J, Yang L, et al. Inhibition of long non-coding RNA NEAT1 impairs myeloid differentiation in acute promyelocytic leukemia cells. *BMC Cancer* 2014; 14: 693.
- 18 Wang Y, Jin W, Jia X, Luo R, Tan Y, Zhu X, et al. Transcriptional repression of CDKN2D by PML/RAR $\alpha$  contributes to the altered proliferation and differentiation block of acute promyelocytic leukemia cells. *Cell Death Dis* 2014; 5: e1431.
- 19 Kale VP. Differential activation of MAPK signaling pathways by TGF-beta1 forms the molecular mechanism behind its dose-dependent bidirectional effects on hematopoiesis. *Stem Cells Dev* 2004; 13(1): 27-38.
- 20 Cabane C, Coldefy AS, Yeow K, Derijard B. The p38 pathway regulates Akt both at the protein and transcriptional activation levels during myogenesis. *Cell Signal* 2004; 16(12): 1405-15.
- 21 Alisi A, Spaziani A, Anticoli S, Ghidinelli M, Balsano C. PKR is a novel functional direct player that coordinates skeletal muscle differentiation via p38MAPK/AKT pathways. *Cell Signal* 2008; 20(3): 534-42.
- 22 Serra C, Palacios D, Mozzetta C, Forcales SV, Morante I, Ripani M, et al. Functional interdependence at the chromatin level between the MKK6/p38 and IGF1/PI3K/AKT pathways during muscle differentiation. *Mol Cell* 2007; 28(2): 200-13.